

5

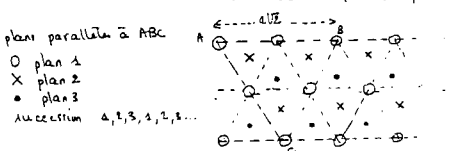
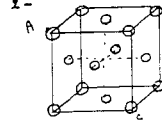
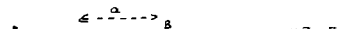
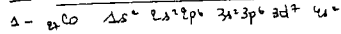
Mines Ponts PC 2004

Annie Thullier  
Leonardo Rico y Calderon  
Lydie Rodriguez Reims -

partie A : le cobalt

## COMPLEXE

I L'élément et le corps simple

3 - compacté dans une maille il y a  $8 \times \frac{1}{8} + 6 \times \frac{1}{2} = 4$  atomes

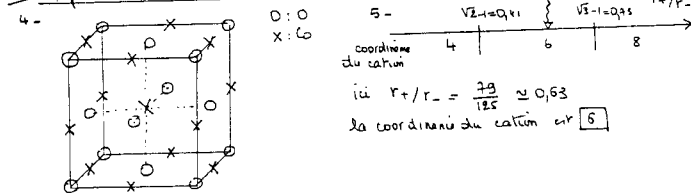
$$2r = \sqrt{2}/2 \Rightarrow r = \frac{\sqrt{2}}{4}$$

$$\text{compacté } C = \frac{4 \cdot \frac{4/3 \pi r^3}{a^3}}{a^3} = \frac{4 \cdot \frac{4}{3} \pi (\sqrt{2}/4)^3}{a^3} = \frac{\pi}{3 \sqrt{2}}$$

$$\text{masse volumique } \rho = \frac{4 \cdot M_{\text{Co}} / N_A}{a^3} \quad N_A = \text{constante d'Avogadro}$$

$$\rho = 4 \cdot \frac{59 \cdot 10^{-3} / N_A}{a^3} \quad a = \left( 4 \cdot \frac{59 \cdot 10^{-3}}{N_A} \cdot \frac{1}{\rho} \right)^{1/3} \quad \rho \text{ en kg m}^{-3}$$

II Oxyde de cobalt II - composé non stoechiométrique



+ - Etat standard = état d'activité égale à 1

activité = fraction molaire

Etat standard = solvant (ou liquide ou solide) pur.

$$6 - \text{gas parfait } \mu_i = \mu_i^\circ (T) + RT \ln \left( \frac{P_i}{P_0} \right) \quad P_i = \text{pression partielle}$$

$$7 - \text{Équilibre : affinité chimique } A = 0 \quad A = -\Delta_f G^\circ$$

$$0 = \mu_{\text{Co}} + \mu_{\text{CoO}} + \mu_{\text{V}_\text{Co}} - \mu_{\text{Co}^{2+}} - \frac{1}{2} \mu_{\text{O}_2}$$

$$0 = \Delta_f G^\circ + RT \ln \left( \frac{x_{\text{Co}^{2+}}}{x_{\text{CoO}}} \right) + RT \ln \left( \frac{x_{\text{V}_\text{Co}}}{x_{\text{Co}^{2+}}} \right) - \frac{1}{2} RT \ln \left( \frac{P_0}{P} \right)$$

$$\Delta_f G^\circ = -RT \ln K_1^0$$

$$x_{\text{Co}^{2+}} = x_{\text{CoO}} = 1$$

19 - trioxalato cobaltate III

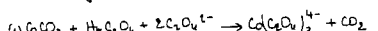
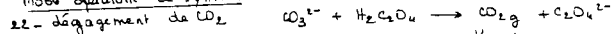
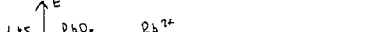
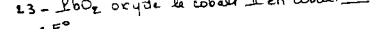
20 -  $\text{Co}^{2+}-\text{C}_2\text{O}_4^{2-}$  ligand représenté par 

il existe deux énantiomères (l'un chez l'autre dans un miroir - non superposables)

21 - principe du séparatum de deux énantiomères E+ et E- : bien mélange réacimique : on fait réagir le mélange sur un réactif asymétrique R+ ou obtient des diastéréoisomères E+R+ et E-R+ séparables car n'ayant pas les mêmes propriétés physiques

2 - préparation et analyse d'un complexe du cobalt

Mode opératoire de synthèse

23 -  $\text{CoO}_2$  oxyde le cobalt II en cobalt III

$$0,57 + 0,06 \log \left[ \frac{\text{Co}^{3+} (\text{Co}_2\text{O}_4)_3^{4-}}{\text{Co}^{2+} (\text{Co}_2\text{O}_4)_3^{4-}} \right] = 1,45 + 0,06 \log \frac{1}{[\text{Co}^{2+}]^2} \Rightarrow 0,03209 K = 1,45 - 0,57$$

la réaction est quasi totale

25 - On met la proportion stoechiométrique pour la réaction (1) et les proportions stoechiométriques pour la réaction (2)

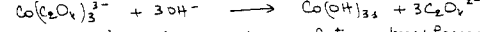
Analyse du solide

26 - A pH fixé quand E7 le degré d'oxydation ?

en milieu basique  $\text{Co}^{2+}$  se transforme en  $\text{Co(OH)}_3$  et  $\text{Co}^{3+}$  se transforme en  $\text{Co(OH)}_3$ 

$$\text{①} = \text{Co}_3 \quad \text{②} = \text{Co}^{2+} \quad \text{③} : \text{Co(OH)}_3 \quad \text{④} : \text{Co}^{3+} \quad \text{⑤} : \text{Co(OH)}_3$$

les domaines correspondant à des solides noir de domaines d'extrait et les domaines ② et ④ correspondent à des ions noir des domaines de prédominance - ces ions existent toujours - les solides n'existent pas toujours

27 - On a mis du solide contenant du cobalt III avec de la soude le précipité est  $\text{Co(OH)}_3$ 28 - En milieu acide les ions oxalates se transforment en acide oxalique  $\text{H}_2\text{C}_2\text{O}_4$ .

$$\text{Équilibre : } K_1^0 = \frac{x_{\text{Co}^{2+}} \cdot x_{\text{V}_\text{Co}}}{(P_0 / P)^{1/2}}$$

10 - On a au total de  $\text{CoO}_2$  que de  $\text{V}_\text{Co}$   $x_{\text{CoO}_2} = x_{\text{V}_\text{Co}} = x$ 

$$K_1^0 = \frac{x^2}{(P_0 / P)^{1/2}}$$

11 - La non stoichiométrie entraîne la présence de  $\text{Co}^{3+}$  dans le cristal - cette espèce peut être considérée comme une "impureté" à défaut d'électrons  $\Rightarrow$  semi conducteur type p12 - Cristal stoichiométrique  $\text{CoO}$ 

$$M_S = m \cdot M_{\text{CoO}}$$

si  $P_0 \neq 0$  alors il y a des atomes O supplémentaires, de la cassure et des  $\text{Co}^{3+}$ 

$$M_{NS} = m \cdot M_{\text{CoO}} + n' \cdot M_O$$

 $n'$  = nombre de O supplémentaires

$$x = x_{\text{CoO}} = x_{\text{V}_\text{Co}} = \frac{m'}{m} \quad \text{car } \frac{1}{2} \text{O}_2 + \text{Co}^{2+} \rightarrow \text{O}_2 + \text{Co}^{2+} + \text{V}_\text{Co}$$

$$M_{NS} = m \cdot M_{\text{CoO}} + n \cdot M_O = M_S + m \cdot M_O \frac{M_O}{M_{\text{CoO}}} \cdot x$$

$$13 - x = \sqrt{K_1^0 \cdot (P_0 / P)^{1/2}}$$

$$M_{NS} = M_S + m \cdot M_O \frac{M_O}{M_{\text{CoO}}} \cdot \sqrt{K_1^0 \cdot (P_0 / P)^{1/2}}$$

on a bien  $M_{NS}$  qui est une fonction affine de  $(P_0 / P)^{1/2}$ 14 - La pente de la droite est proportionnelle à  $\sqrt{K_1^0}$  pour un échantillon donné

$$\text{Loi de Vant' Hoff } \frac{d \ln K_1^0}{dT} = \frac{\Delta_f H^\circ}{RT^2} \quad \ln \frac{K_1^0(P_2)}{K_1^0(P_1)} = - \frac{\Delta_f H^\circ}{R} \left( \frac{1}{T_2} - \frac{1}{T_1} \right)$$

$$(P_1 \text{ et } P_2 \text{ en K}) = 2 \ln \frac{P_2 \cdot T_1}{P_1 \cdot T_2}$$

15 -  $\text{Co}_{1-p} \text{O}$ 

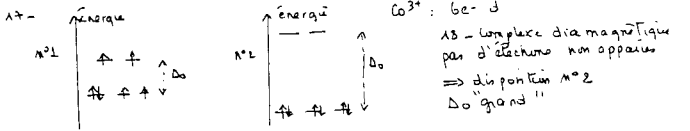
$1 \text{O}^{2-}$ moléculaire	$\text{O}_2$
$1-2p$ $\text{Co}^{2+}$ normal noté $\text{Co}^{2+}$	$\text{Co}^{2+}$
$p$ $\text{Co}^{3+}$ noté $\text{Co}^{3+}$	$\text{Co}^{3+}$
$p$ la cassure notée $\text{V}_\text{Co}$	$\text{V}_\text{Co}$

## III Complexes du cobalt III

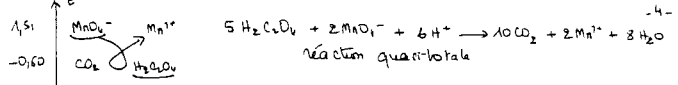
A - structure d'ions complexes

16 - La liaison ion métallique - ligand négatif et électrostatique On recherche s'il y a lieu de 6 ligands négatifs en disposition octaédrique sur le électrons externes (3d) du cation central

le niveau 3d est déstabilisé (par rapport au niveau 3d du filon isolé)

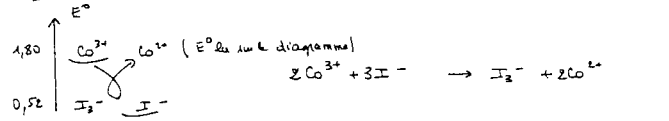
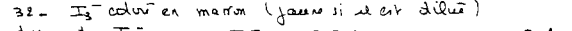
et déstabilisé de  $\Delta_o$  $\Delta_o$  dépend du cation central et du ligand18 - complexe diamagnétique par d'échange non apparu  $\Rightarrow$  disposition  $\text{M}^{+2}$ 

$$\Delta o \text{ grand}$$



29 - le nombre d'oxalate est 2,5 fois le nombre de molécules de permanganate mis pour le dosage - On a donc 25 mL de S et on a préparé 100 mL de S à partir de l'échantillon pesé, on a donc doublé le quart des oxalates présents dans l'échantillon

$$M_{\text{oxalate}} = 4 \cdot 2,5 \cdot C_T V_8 = 10 C_T V_8 \quad (V_8 \text{ en L})$$

30 - le solide est  $\text{Co(OH)}_{3,1}$  on le met en milieu acide fort donc le cobalt est sous forme  $\text{Co}^{3+}$  - On a porté  $\text{I}^-$  à  $\text{I}^-$  et forme du diiodure  $\text{I}_2$  - en présence de  $\text{I}^-$  on a  $\text{I}_2 + \text{I}^- \rightarrow \text{I}_3^-$  (marron)31 - On a mis un excès d'iode  $\text{I}^-$  pour transformer tous les  $\text{Co}^{3+}$  en  $\text{Co}^{2+}$  pour vérifier ce fait : lorsqu'on a terminé le dosage de  $\text{I}_3^-$  formé, si on ajoute un peu de  $\text{I}^-$  il ne doit rien se passer (car il n'y a plus de  $\text{Co}^{3+}$ ... donc pas de  $\text{I}_3^-$ )32 -  $\text{I}_3^-$  coloré en marron (jaune si il est dilué)jaune incolore incolore jaune le virage du jaune à l'incolore est difficile à voir - L'emploi d'amidon donne une coloration bleue avec  $\text{I}_3^-$  le virage du bleu à l'incolore est plus visible33 - 2  $\text{Co}^{3+}$  donne 1  $\text{I}_3^-$  donc 2 thiosulfate

$$\text{moitié de Co} = \text{nombre de thiosulfate}$$

$$M_{\text{Co}} = C_T V_8 \quad V_8 \text{ en L}$$

34 - Celui ne change rien car dans  $\text{Co}_2\text{O}_3$  on a le cobalt sous forme de  $\text{Co}^{3+}$  comme dans  $\text{Co(OH)}_{3,1}$ 35 - Dans l'échantillon Maxalate =  $10 \cdot 0,02 \cdot 29,3 \cdot 10^{-3} \approx 6 \cdot 10^{-3}$  mol

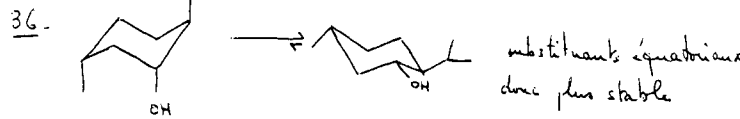
$$M_{\text{Co}} = 0,05 \cdot 40,4 \cdot 10^{-3} = 2 \cdot 10^{-3} \text{ mol}$$

on a donc trois oxalates pour 2 Co dans l'échantillon donc le complexe  $\text{Co}(\text{C}_2\text{O}_4)_3^{3-}$ L'anion est précipité avec un cation, vraisemblablement  $\text{K}^+$  apposé avec l'oxalate précipité

$$\text{K}_3 \text{Co}(\text{C}_2\text{O}_4)_3^{3-}$$

## Partie B

5



substituants équatoriaux  
donc plus stable

- 37.

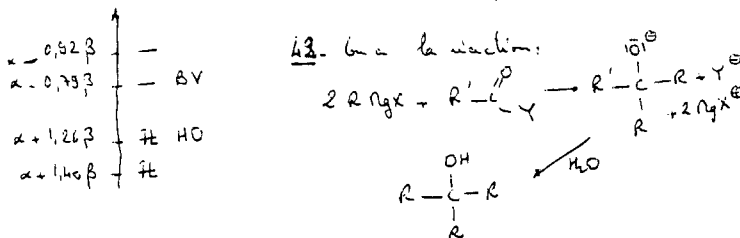
38. quintuplet d'intensité 1  $\Rightarrow$  2H  
triplet d'intensité 2  $\Rightarrow$  4H  $\Rightarrow$

D'où A:

39. alcool + anhydride d'acide  $\rightarrow$  ester B  
methanol A

40. Utilisation d'un réactif chlorant:  $\text{SOCl}_2$ ,  $\text{PdL}$ , ou  $\text{PdLs}$

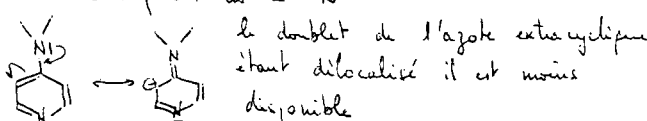
41. On obtient le diagramme d'Ort complet:



51.  $\text{H}^\ominus$  se comporte comme  $\text{R}^\ominus$  du organo-négatif: -7  
 $2\text{H}^\ominus + \text{R}-\overset{\text{O}}{\underset{\text{H}}{\text{C}}}-\text{Y} \rightarrow \text{R}-\overset{\text{O}^\ominus}{\underset{\text{H}}{\text{C}}}-\text{H} + \text{Y}^\ominus \xrightarrow{\text{H}_2\text{O}} \text{R}-\text{CH}_2-\text{OH}$

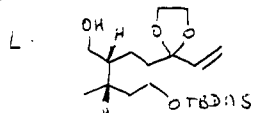
52.  $\text{AlLiH}_4$ : non sélectif : il existe 2 fonctions ester (la moins encombrée négativer au 1<sup>o</sup>)

53. 2 sites basiques. les 2  $\text{N}$



54. SN sur le Si.  $\text{R}-\text{OH} + \text{BuSi-Cl} \xrightarrow{\text{SN}} \text{R}-\overset{\oplus}{\underset{\text{H}}{\text{O}}}-\text{Si}^\ominus-\text{Bu}+\text{Cl}^-$   
 $\xrightarrow{\text{DMAP}}$   
 $\text{R}-\text{OTBDPS}$

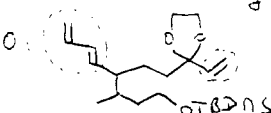
55. réduction du second atome:



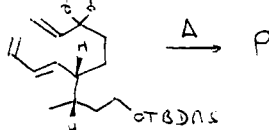
56. oxydation de l'alcool primaire en aldéhyde (en  $\text{R}_3\text{NO}$ , proton caractéristique à 9.1 ppm)



57. Réaction de Wittig



58. Réaction de Dieck-Aldey entre le diène et l'alcène



59. lactation?! 2 produits possibles (les H anti)

43. le nucléophile n'agit pas sa HO sur la BV de l'électrophile (voir  $\alpha = 0.79\beta$ ) donc sur la fonction chlorure d'angle

44. après addition/élimination de l'organostannane, on obtient une  $\alpha$ -énone dont la BV est enroulé + basse donc  $\Delta E_{\text{BS-NO}}$  plus faible donc favorable (de suivi en 1-4 d'après la règle gros-gros)

ce qui est à priori incompatible avec le résultat  
En fait le chlorure est beaucoup plus réactif (il bon groupe)

45. on forme un aïtel (protection de la stière)

46.  $\xrightarrow{\text{HO}^\ominus, \text{APTS}}$  E

47. bain de carboglace / aubine

48. LDA: amide : base forte

THF: pas de H mobile, un peu polaire (solvat le cation)

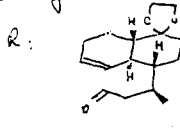
49. H en  $\alpha$  de  $\text{C=O}$ : amidon modifié due à la délocalisation de la charge:

50. il faut  $\Delta E_{\text{HO/BV}}$  la + faible  $\Rightarrow$  HO de l'acétate/BV de les suffisants les + gros donnent la meilleure interaction  
 $\Rightarrow$

60. le méthanol est un auxiliaire diénal; il a permis à l'étape F + G  $\rightarrow$  H de créer les C\* adéquats

61. le TBDPS a servi de protection de l'alcool (non compatible avec le milieu très basique de l'ylene)

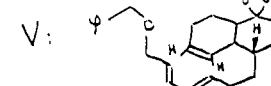
62. oxydation de l'alcool primaire en aldéhyde



63. H  $\alpha$  de P est légèrement aussi car base stabilisée par tétramine:  $(\text{Et}_2\text{P})_4\text{N}^\oplus \text{OEt} \leftrightarrow (\text{Et}_2\text{P})_4\text{N}^\oplus \text{OEt} \rightleftharpoons (\text{Et}_2\text{P})_4\text{N}^\oplus \text{OEt} \rightleftharpoons (\text{Et}_2\text{P})_4\text{N}^\oplus \text{OEt}$

64. Réaction de type Wittig (Hausser)

65. U:  $\text{R-OH} \xrightarrow{\text{B}^\ominus} \text{R-O}^\ominus \xrightarrow{\text{C}^\oplus} \text{R-O-C}^\oplus$



66. On obtient à nouveau une réaction de Diels-Alder  
Stéréochimie: l'alcène et Z  $\Rightarrow$  les 2H sont du même côté